

ЭЛЕКТРОННЫЕ, ФОНОННЫЕ И СВЕРХПРОВОДЯЩИЕ СВОЙСТВА ГИДРИДОВ ИТТРИЯ И СЕРЫ ПРИ ВЫСОКОМ ДАВЛЕНИИ

K. C. Гришаков^{a}, H. N. Дегтяренко^{a**}, E. A. Мазур^{a,b***}*

*^a Национальный исследовательский ядерный университет МИФИ
115409, Москва, Россия*

*^b Национальный исследовательский центр «Курчатовский институт»
123098, Москва, Россия*

Поступила в редакцию 5 июня 2018 г.
после переработки 5 июня 2018 г.
Принята к публикации 13 июня 2018 г.

Выполнен анализ электронных, фононных и сверхпроводящих свойств двойных гидридов YH_6 , H_3S , YH_{10} , UH_{10} , CaH_{10} в сравнении со свойствами тройного гидрида YS_4H_4 в рамках единого физического и расчетного подхода для определения диапазона устойчивости и критической сверхпроводящей температуры. Рассчитаны нормальные и сверхпроводящие характеристики тройного гидрида YS_4H_4 при высоком давлении. Проведено сравнение результатов для тройного гидрида YS_4H_4 со свойствами соединений YH_6 , H_3S , YH_{10} , UH_{10} и CaH_{10} .

DOI: 10.1134/S0044451019010103

1. ВВЕДЕНИЕ

В настоящее время актуальной задачей является поиск новых высокотемпературных сверхпроводящих материалов (ВТСП) с высоким содержанием водорода, у которых переход в сверхпроводящее состояние происходит в условиях, близких к нормальному (нормальное давление и комнатная температура). В обзорной работе [1] подробно рассматриваются данные по расчетам 33 гидридов основных групп элементов при высоком давлении, имеющих различную структуру и различающихся содержанием атомов водорода. По результатам проведенного в обзоре анализа определены оптимальные значения давлений для получения максимальной критической температуры T_c . Для ряда бинарных гидридов на основе компьютерного моделирования была предсказана сверхпроводимость со значением T_c более 100 К (CaH_6 [2], AlH_5 [3], SiH_3 [4], SiH_4 [5], PbH_8 [6], SbH_4 [7], SH_3 [8], SeH_3 [9]).

Значения T_c выше 200 К были предсказаны в коалентном гидриде SH_3 [8] и нескольких полигидридах, имеющих структуру типа YH_6 [10].

Наряду с теоретическими оценками сверхпроводящих свойств различных гидридов были получены и экспериментальные результаты [11, 12], которые подтвердили высокие значения $T_c \sim 200$ К в гидридах серы SH_3 [13] под высоким давлением. Также экспериментально [14] было найдено значение $T_c \sim 100$ К для гидрида фосфора PH_3 при высоком давлении.

Таким образом, на основе гидридов достигнуты высокие температуры сверхпроводящего перехода, и одной из главных задач является поиск соединений, устойчивых при меньших давлениях. Возможными направлениями поиска новых сверхпроводящих гидридов являются: 1) двойные соединения с нестандартной стехиometрией; 2) тройные соединения. С целью поиска соединений, устойчивых при малых давлениях, мы начали рассмотрение тройных соединений YXH .

Мы предполагаем, что для получения устойчивых тройных соединений YXH при меньших давлениях по сравнению с бинарными гидридами необходимо: существование устойчивого соединения из элементов X и Y, а также существование устойчи-

* E-mail: gks88@mail.ru

** E-mail: NNDegtyarenko@mephi.ru

*** E-mail: eugen_mazur@mail.ru

вых двойных гидридов для элементов X и Y, которые демонстрировали бы при высоких давлениях большие значения критической температуры сверхпроводящего перехода.

Используя программу USPEX [15], мы нашли несколько структур для тройных гидридов на основе иттрия и серы. Действительно, при нормальных условиях существует сульфид иттрия (YS , Y_2S_3) [16], а для двойных гидридов YH_6 и SH_3 при высоком давлении расчетные значения T_c достаточно велики [8, 10]. Кроме того, для гидрида серы сверхпроводимость и высокие значения критической температуры получены экспериментально [12].

Характерной особенностью тройных соединений является сочетание нескольких факторов, увеличивающих требования к вычислительным мощностям: большие размеры и число электронов в расчетной элементарной ячейке; более низкий возможный тип реализуемой симметрии элементарной ячейки, что обусловлено несоответствием задаваемой исходной стехиометрии. На данном этапе мы представляем результаты для стехиометрического состава YS_4H_4 .

2. МЕТОДИКА РАСЧЕТА

Расчет свойств соединений гидридов $Y_nX_mH_k$ проводился в рамках теории функционала плотности (density functional theory, DFT) в базисе плоских волн, с использованием сохраняющего норму псевдопотенциала в следующей последовательности для каждого значения давления:

- 1) структурные параметры, энталпия равновесной структуры;
- 2) электронные блоховские спектры равновесной структуры;
- 3) фононные спектры для равновесной структуры;
- 4) переход в базис функций Ванье;
- 5) нахождение электронных спектров, получение спектральной функции Элиашберга и константы электрон-фононного взаимодействия;
- 6) оценка T_c сверхпроводящего перехода, исходя из аппроксимации решений уравнений Элиашберга с использованием ряда приближений. В первом приближении использовалась оценка T_c по формуле Аллена – Дайнса, которая аппроксимирует решения уравнений Элиашберга [17];
- 7) решение уравнений Элиашберга для нормального состояния системы, учет влияния электрон-фононного взаимодействия на электронный спектр;
- 8) решение уравнений Элиашберга для сверхпроводящего состояния системы с учетом электрон-фо-

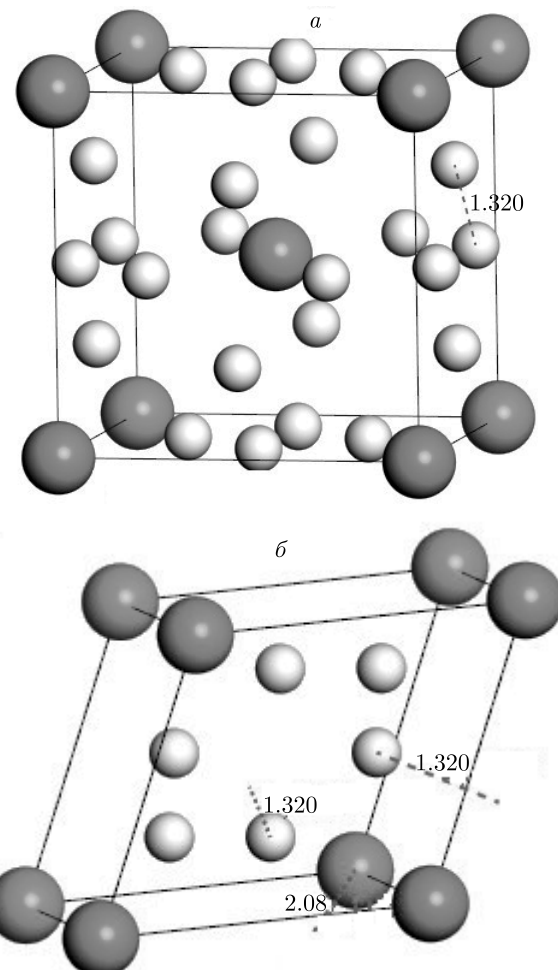


Рис. 1. (В цвете онлайн) Кубическая ячейка Me–H₆ с симметрией $I\bar{m}3m$ (OH-9) и примитивная ячейка той же структуры (цифры — расстояния H–H)

нонного взаимодействия, расчет T_c и ширины щели сверхпроводящего перехода.

В данной работе представлены результаты расчетов в рамках пунктов 1–6. В расчетах использовались пакет программ QUANTUM ESPRESSO версии 6.2.1 [18], собственные программные комплексы, основанные на работе [19], а также визуализаторы расчетов.

3. РЕЗУЛЬТАТЫ И ОБСУЖДЕНИЕ

Характерной особенностью структуры двойных гидридов YH_6 и H_3S является высокая симметрия, а также наличие подрешетки водорода, однородной по расстояниям H–H в первой и второй координационных сферах. Эти структуры хорошо изучены и для них получены как расчетные [8, 10, 11], так и экспериментальные данные [12]. Базовые элемен-

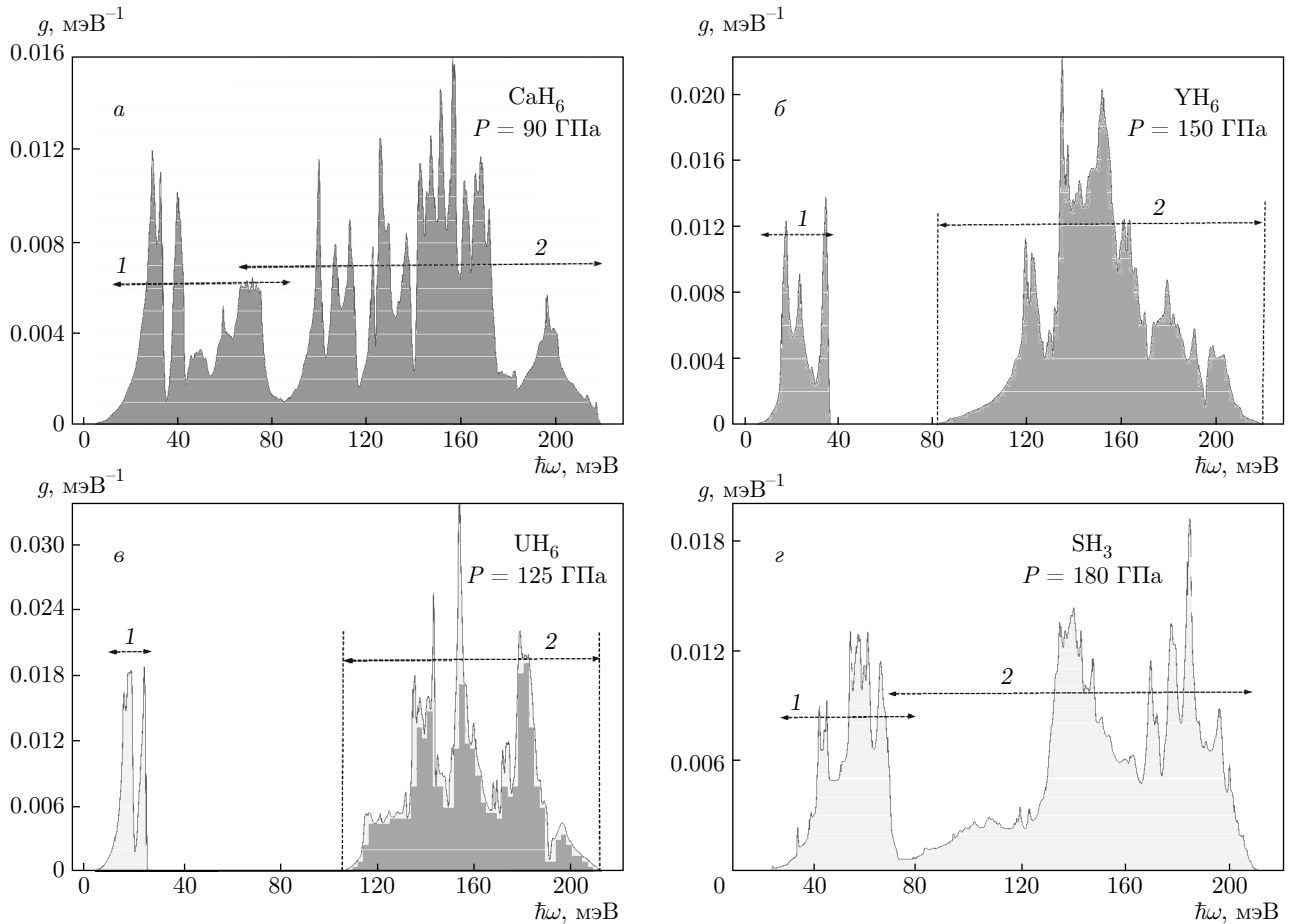


Рис. 2. (В цвете онлайн) Парциальные плотности фононных колебаний $g(\hbar\omega) = \text{PDOS}$ соединений CaH_6 (а), YH_6 (б), UH_6 (в) и H_3S (г) при характерных для структур давлениях $P = 90, 150, 125, 180$ ГПа; интервал 1 — частоты колебаний тяжелых атомов, интервал 2 — частоты колебаний атомов водорода

ты этих гидридов различны, что приводит к различным диапазонам устойчивости по давлению [3], т. е. к различному вкладу в величину «химического» давления. Ниже представлены результаты расчетов для этих двойных гидридов. Результаты частично совпадают с результатами предыдущих работ [8, 10, 11], однако нами выявлены и принципиальные различия.

3.1. Результаты для соединений XH_m ($m = 6$)

1. Особенностью структур двойных гидридов XH_6 ($\text{X} = \text{U}, \text{Y}, \text{Ca}$) является наличие подрешетки водорода, однородной по расстояниям $\text{H}-\text{H}$ в первой координационной сфере (рис. 1). Базовые элементы этих гидридов различны, что приводит к различному вкладу в величину «химического» давления.

2. Для CaH_6 , YH_6 , UH_6 фононные спектры не содержат мнимых частот, начиная соответственно с давлений $P \approx 90, 150, 30$ ГПа, т. е. гидрид UH_6 является наиболее устойчивым при понижении давления. Для H_3S нижняя граница устойчивости составляет примерно 175 ГПа. Характерные фононные спектры для соединений CaH_6 , YH_6 , UH_6 и H_3S представлены на рис. 2. Максимальные частоты фононных колебаний примерно одинаковы (около 200 мэВ). Для соединений YH_6 и H_3S мнимые частоты отсутствуют в спектре, начиная соответственно с давлений $P \approx 150$ ГПа и $P = 175$ ГПа.

Фононные колебания в интервале 100–200 мэВ, помеченные цифровой 2, связаны с колебаниями подрешетки водорода этих гидридов. Практически весь интервал частот колебаний заполнен только для CaH_6 и H_3S . Имеется небольшая область перекрытия интервалов 1 и 2, что указывает на совместные

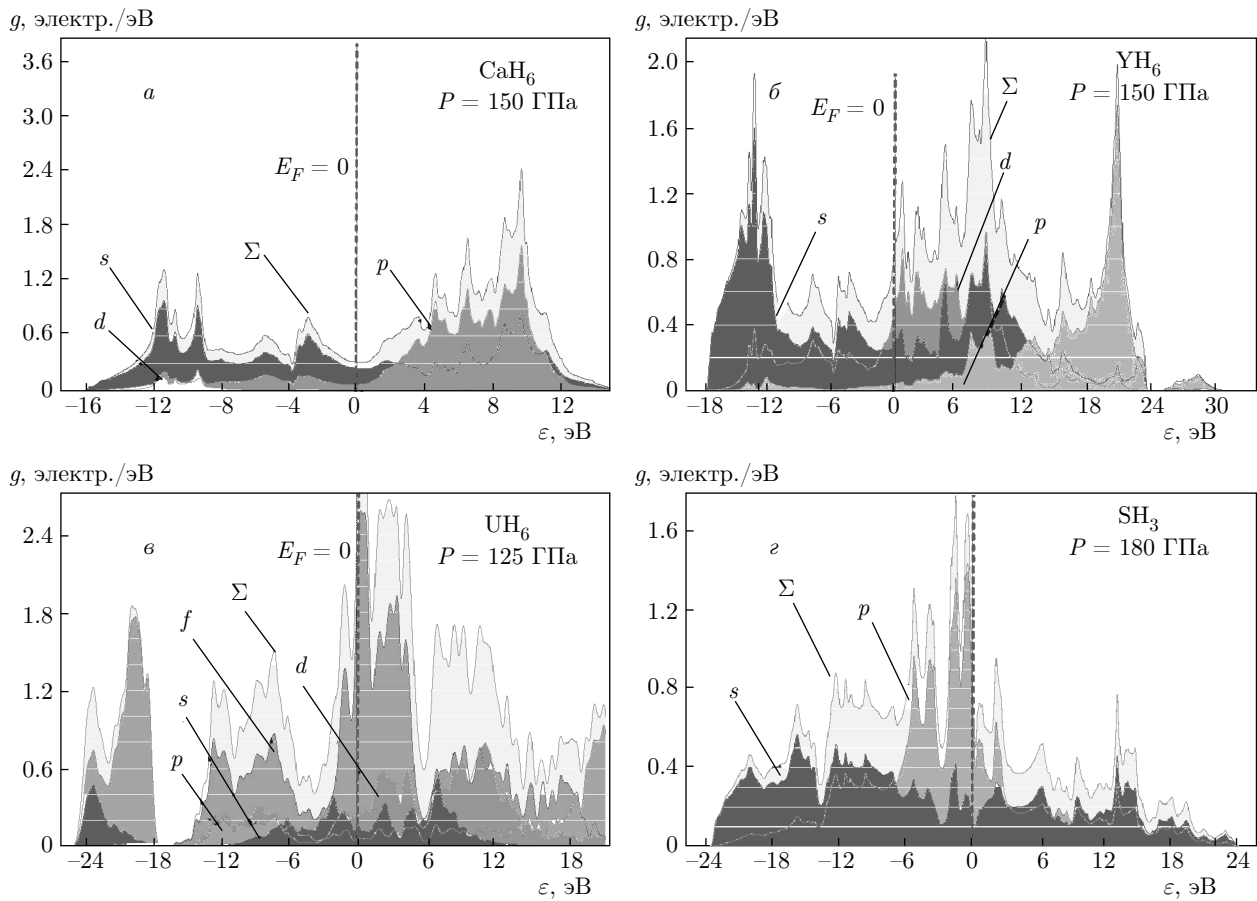


Рис. 3. (В цвете онлайн) Парциальные плотности числа электронных состояний $g(\varepsilon) = \text{PDOS}$ соединений CaH₆ (a), YH₆ (б), UH₆ (в) и H₃S (г) при характерных для структур давлениях $P = 150, 150, 125, 180$ ГПа

колебания подрешеток этих гидридов. В то же время диапазон колебаний подрешетки водорода определяется явно. Для YH₆ и UH₆ в плотности фононных состояний присутствуют явно выраженные пустые интервалы частот. С ростом давления спектр частот становится «жестче», и пустые интервалы частотного спектра могут возникать и для соединений CaH₆ и H₃S.

3. Для указанных веществ плотность электронных состояний на уровне Ферми (рис. 3) создается электронами разных типов (s , p , d , f — условное разделение для твердого тела). Для UH₆ электроны s -типа локализованы только на подрешетке водорода и их относительное число незначительно. На подрешетке урана «глубокие» s -электроны не представлены (для использованного псевдопотенциала).

Важную роль в установлении величины температуры сверхпроводящего перехода играет поведение плотности числа электронных состояний (density of states, DOS) вблизи уровня Ферми E_F ,

т. е. DOS(E_F). Для CaH₆ уровень Ферми приходится на область плотности числа электронных состояний вблизи уровня Ферми, где такая плотность примерно постоянна. Для YH₆ уровень Ферми приходится на область «ската» широкого (несколько электрон-вольт) пика плотности электронных состояний. Для UH₆ уровень Ферми находится вблизи более узкого пика плотности электронных f -состояний. Для SH₃ уровень Ферми приходится на узкие пики плотности электронных s - и p -состояний. Последнее обусловлено высокой симметрией этого соединения и наличием линейных цепочек атомов водорода (особенности Ван-Хова).

С изменением давления P парциальная плотность числа электронных состояний (partial DOS, PDOS) меняется по-разному в зависимости от положения уровня Ферми и факта наличия или отсутствия пика DOS. Например, для YH₆ (рис. 4a) парциальная плотность числа электронных состояний PDOS относительно слабо меняется для s - и

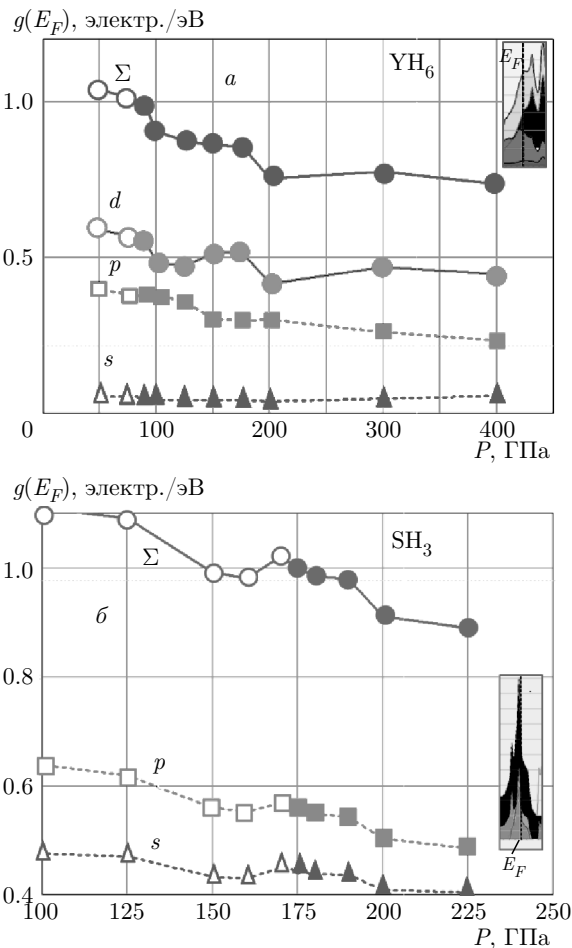


Рис. 4. (В цвете онлайн) Зависимость парциальной плотности числа электронных состояний $g(E_F) = \text{PDOS}$ на уровне Ферми для s -, p -, d -состояний и суммарного значения Σ плотности электронных состояний от давления P для YH_6 (а) и SH_3 (б). На вставках — вид $g(\varepsilon)$ вблизи E_F

p -состояний. Несколько большие изменения имеют место для числа d -состояний на уровне Ферми. Как следует из рис. 4а, устойчивость структуры YH_6 имеет место при смещении уровня E_F относительно d -пика PDOS для SH_3 в s - и p -состояниях приводит к некоторому росту суммарной парциальной плотности электронных состояний $DOS(E_F)$ при давлении $P = 170$ ГПа. При этом устойчивость структуры SH_3 (отсутствие мнимых частот) возникает при $P > 175$ ГПа. Это значение давления коррелирует с данными работы [8].

4. Спектральные функции электрон-фононного взаимодействия сохраняют представленные особенности парциальных плотностей фононных состоя-

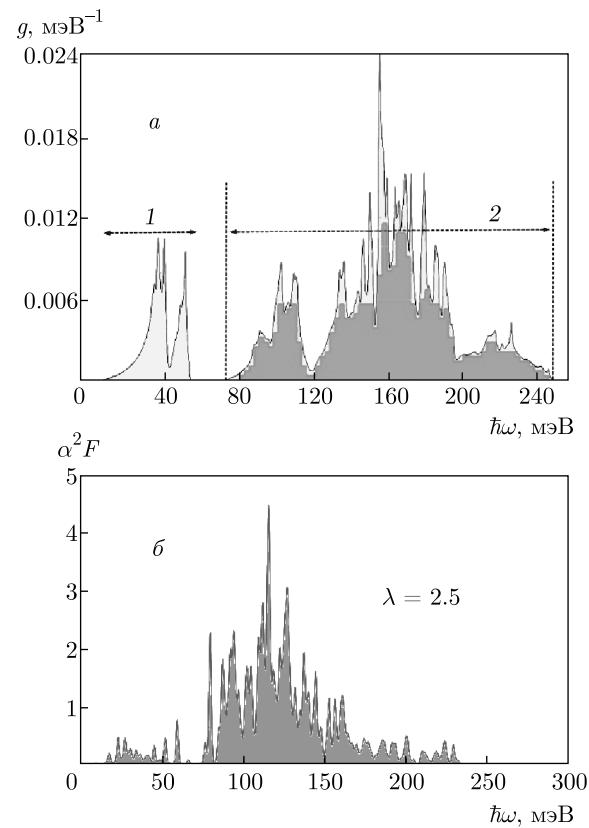


Рис. 5. (В цвете онлайн) Парциальная плотность фононных состояний $g(\hbar\omega) = \text{PDOS}$ (а) и спектральная функция электрон-фононного взаимодействия (б) соединений CaH_6 при давлении $P = 150$ ГПа. Диапазон частот колебаний атомов водорода обозначается цифрой 2, энергетические диапазоны мод колебаний атомов Ca — цифрой 1

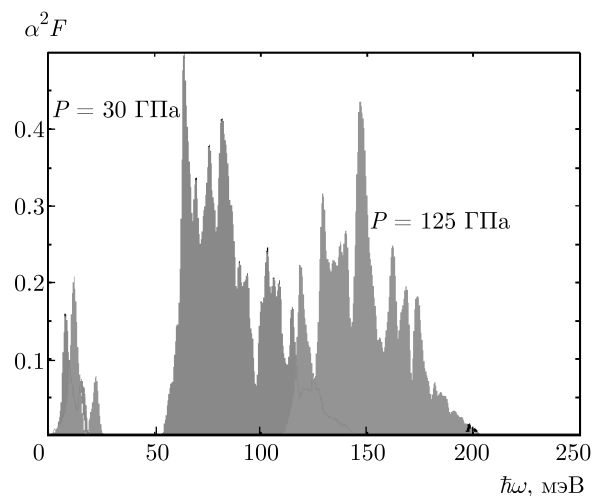


Рис. 6. (В цвете онлайн) Спектральные функции электрон-фононного взаимодействия соединений UH_6 для двух значений давления, $P = 30$ ГПа и $P = 125$ ГПа

Таблица

Соединение	P , ГПа	λ	T_c , К
SH_3	180	2.3	200
CaH_6	150	2.5	180
YH_6	125	3.0	165
UH_6	125	0.38	1.32
UH_6	30	0.56	7.8

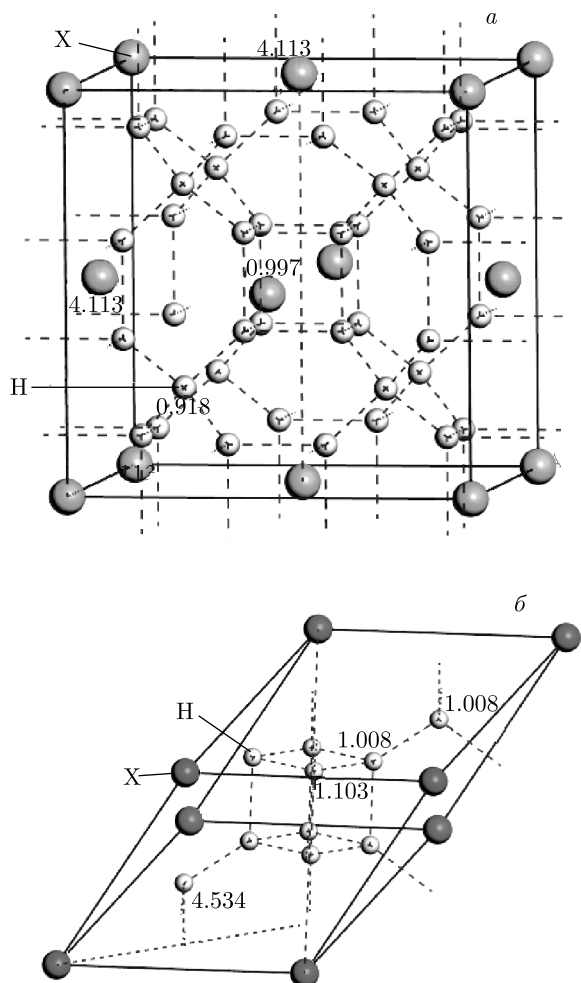


Рис. 7. (В цвете онлайн) Кубическая ячейка XH_{10} с симметрией $Fm\text{-}3m$ (ОН-5) и примитивная ячейка той же структуры. В окружении одного атома X находятся 32 атома H (цифры — расстояния H-H)

ний PDOS (рис. 5). Как следует из рис. 5, основные максимумы обеих зависимостей соответствуют колебаниям атомов водорода (интервал 2).

На рис. 6 показано изменение спектральной функции Элиашбера с изменением давления P для соединения UH_6 . В соответствии с выражением для

константы электрон-фононного взаимодействия

$$\lambda = 2 \int_0^{\omega_{max}} d\omega \frac{\alpha^2(\omega)F(\omega)}{\omega}$$

пустой интервал в области низких частот для UH_6 не может давать вклада в значение константы электрон-фононного взаимодействия. Сдвиг максимума в поведении спектральной функции электрон-фононного взаимодействия с понижением давления в область меньших частот должен приводить к большему значению константы λ . Расчеты констант электрон-фононного взаимодействия λ и значений критической температуры T_c сверхпроводящего перехода представлены в таблице. Результаты обусловлены приведенными выше особенностями фононных и электронных спектров этих гидридов.

3.2. Результаты для соединения XH_m ($m = 10$)

Расчеты фононных, электронных спектров и последующий учет электрон-фононного взаимодействия для соединений с $m = 10$ был проведен по схеме, аналогичной расчетам при $m = 6$. Кубическая ячейка XH_{10} с симметрией $Fm\text{-}3m$ (ОН-5) приведена на рис. 7.

Расчеты фононных спектров дали следующие результаты (рис. 8):

- в CaH_{10} присутствуют мнимые частоты в акустической ветви для давлений $P \leq 400$ ГПа (т. е. это соединение неустойчиво);
- в YH_{10} мнимых частот в фононном спектре нет для интервала давлений $P = 200\text{--}400$ ГПа;
- в UH_{10} мнимых частот в фононном спектре нет для интервала давлений $P = 100\text{--}400$ ГПа.

Таким образом, для соединений XH_{10} интервал устойчивости (отсутствие мнимых частот) увеличивается для тяжелых элементов. Расчет константы электрон-фононного взаимодействия λ был проведен для соединения YH_{10} для давления $P = 400$ ГПа. Значение этой константы оказалось равным $\lambda \approx 1.74$, что дало высокое значение критической температуры сверхпроводящего перехода $T_c \approx 200$ К.

3.3. Свойства тройного гидрида YS_4H_4

Мы рассмотрели несколько вариантов тройных гидридов. Поиск структур с наименьшей энергией проводился с помощью программы [18]. Найти структуры типа $\text{Ca}_n\text{S}_m\text{H}_k$ с высокой симметрией

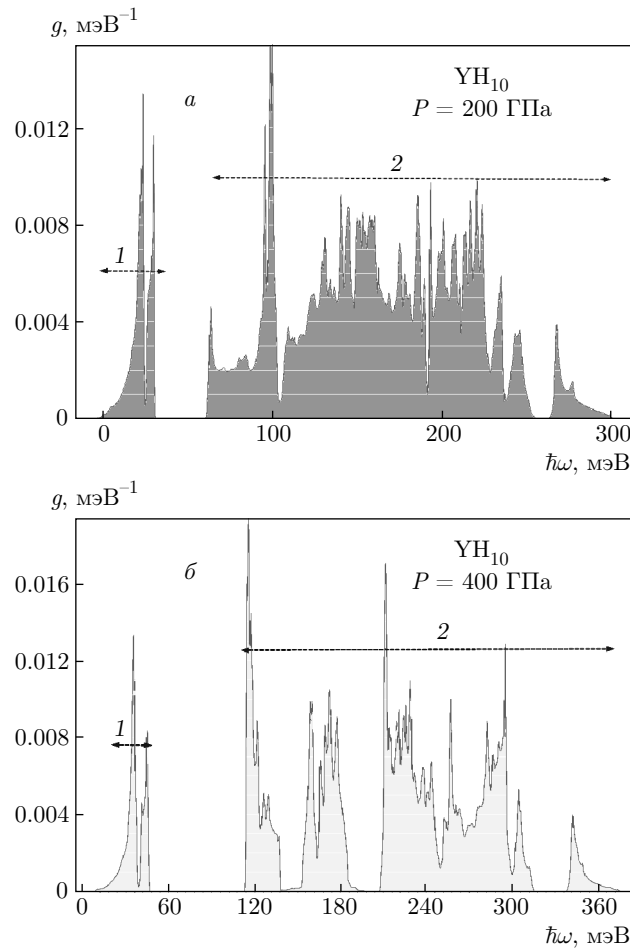


Рис. 8. (В цвете онлайн) Парциальные плотности числа фононных колебаний $g(\hbar\omega) = \text{PDOS}$ соединения YH_{10} при давлениях $P = 200$ (а) и $P = 400$ ГПа (б). Диапазон частот колебаний атомов водорода обозначается цифрой 2, энергетические диапазоны мод колебаний атомов Y — цифрой 1

нам не удалось. Для систем $\text{Y}_n\text{S}_m\text{H}_k$ были исследованы структуры $\text{Y}_1\text{S}_1\text{H}_k$ ($k = 8, 10, 16$) с высокой симметрией, но во всех случаях фононный спектр содержал мнимые частоты. Было установлено несколько структур с соотношением элементов в элементарной ячейке, большим единицы, и устойчивых до давлений 50–75 ГПа.

Установленная нами структура тройного гидрида со стехиометрией YS_4H_4 представлена на рис. 9. Примитивная ячейка этой структуры содержит многоэлектронные атомы Y и S, взаимодействие которых удерживает симметрию структуры при давлениях, более низких по сравнению с давлениями, стабилизирующими соединения YH_6 и H_3S [20]. Подрешетка водорода имеет вид «гармошки» с преимущественным квазичепочечным пространственным рас-

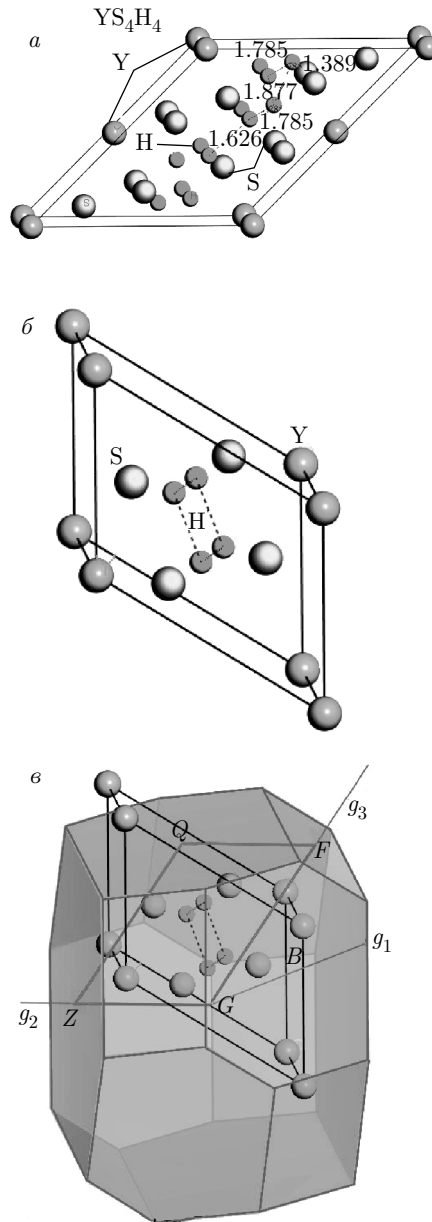


Рис. 9. (В цвете онлайн) Соединение YS_4H_4 при давлении $P = 200$ ГПа: ячейка с симметрией C_2/M (а); примитивная ячейка той же структуры (б) и обратная к примитивной ячейка, на которой изображен k -путь $G-Z-Q-F-G$ (в)

положением атомов. Атомы тяжелых элементов образуют свои отдельные цепочки.

Дисперсионные зависимости фононных мод и фононные плотности числа состояний для соединения YS_4H_4 представлены на рис. 10, 11. Максимальные частоты фононных колебаний для YS_4H_4 составляют величину, равную примерно 280 мэВ.

Колебания в интервале 100–200 мэВ связаны с колебаниями подрешетки водорода этого соединения (рис. 11). Для YS_4H_4 присутствует несколько

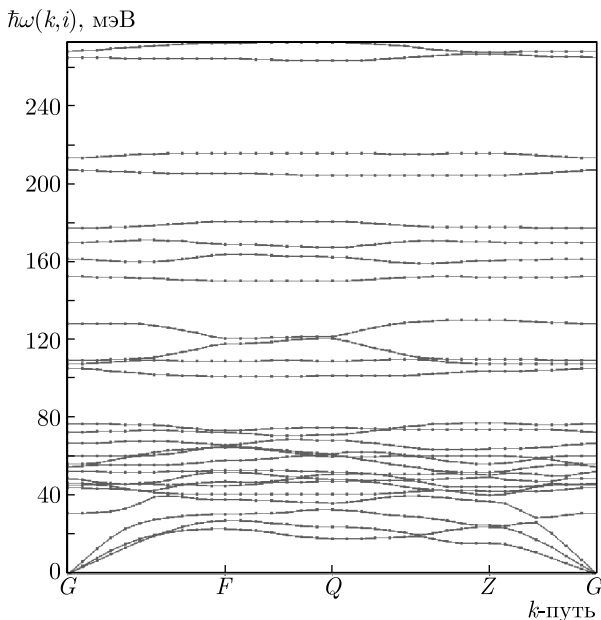


Рис. 10. Дисперсионная зависимость фононных колебаний для соединения YS_4H_4 (C_2/M) при давлении $P = 200$ ГПа

явно выраженных пустых интервалов частот, что обусловлено различными окружениями разных атомов водорода и наличием в структуре набора межатомных расстояний Н–Н. Плотность числа фононных мод в области низких частот (100 мэВ для атомов Н) имеет существенно большее значение, чем для YH_6 . Колебания атомов тяжелых элементов (Y и S) имеют частоты до 80 мэВ, и их спектры перекрываются (диапазон 1 на рис. 11).

Диаграмма электронных зон соединения YS_4H_4 имеет сложную структуру. На рис. 12 показана структура электронных зон при давлении $P = 200$ ГПа. Вдоль k -пути $G-Z-Q-F-G$ желтым цветом выделены области, где имеет место электронный тип носителей, зеленым — дырочный.

Плотность числа электронных состояний на уровне Ферми, которая создается электронами разных типов (s, p, d), для давления $P = 200$ ГПа показана на рис. 13. Уровень Ферми приходится на скат широкого пика плотности числа состояний. При изменении давления в широком диапазоне вплоть до 400 ГПа плотность числа состояний электронов на уровне Ферми меняется (рис. 14), и уровень Ферми попадает в минимум плотности электронных состояний DOS.

Для тройных гидридов изменение стехиометрии (состава) позволяет, в принципе, изменить соотношение условных (s, p, d) электронов на уровне Ферми, т. е. позволит изменить матричные элементы

электрон–фононного взаимодействия.

Спектральные функции Элиашберга сохраняют основные особенности фононных парциальных плотностей числа состояний PDOS. Расчеты константы электрон–фононного взаимодействия λ и значения критической температуры сверхпроводящего перехода дали следующие результаты, обусловленные приведенными особенностями фононных и электронных спектров этого тройного гидрида:

$$\text{YS}_4\text{H}_4 \quad P = 200 \text{ ГПа}, \quad \lambda \approx 1, \quad T_c \approx 20 \text{ К}.$$

Тяжелые элементы в указанных соединениях сообщают атомам водорода определенную часть электронной плотности. Это видно из графиков зависимости милликеновских зарядов Z_M атомов в зависимости от давления (рис. 15).

Как видно на рис. 15а, зависимости $Z_M(P)$ для SH_3 и YH_6 слабые. Каждый из атомов водорода приобретает заряд $Z_M(\text{H}) \approx 0.1$ или $Z_M(\text{H}) = 0.2$ соответственно для SH_3 и YH_6 , который сохраняется приближенно с изменением давления. Для соединения YS_4H_4 (рис. 15б) изменения более существенны. Для структуры YS_4H_4 характерно наличие двух групп атомов водорода. Для Н(1) величина милликеновского заряда $Z_M(\text{H}) \approx 0$, для Н(2) величина $Z_M(\text{H})$ растет с ростом давления вплоть до -0.3 . Для атомов иттрия величина милликеновского заряда $Z_M(\text{Y})$ уменьшается с ростом давления от 0.7 до 0.3. У атомов серы происходит изменение знака милликеновского заряда $Z_M(\text{S})$ при давлении $P \approx 125$ ГПа, диапазон изменения $Z_M(\text{S}) \approx -0.2 \dots 0.4$.

На рис. 16 представлены зависимости от давления удельного объема, приходящегося в среднем на один атом элементарной ячейки двойных соединений CaH_6 , YH_6 , UH_6 и H_3S и тройного гидрида YS_4H_4 . Для всех двойных соединений характерны кривые примерно одного типа. Для YS_4H_4 эта величина примерно вдвое больше из-за взаимодействия атомов Y и S.

Диапазон устойчивости гидрида YS_4H_4 , определяющийся отсутствием мнимых частот в спектре фононов, несколько больший, чем для YH_6 и H_3S . Это следует из рис. 17, где представлена зависимость энергии на атом от давления

$$E = \frac{1}{N_{cell}} [E_{cell} - (mE_Y + nE_S + kE_H)].$$

Здесь E_{cell} и N_{cell} — полная энергия и число атомов в расчетных ячейках систем; E_Y , E_S , E_H — расчет-

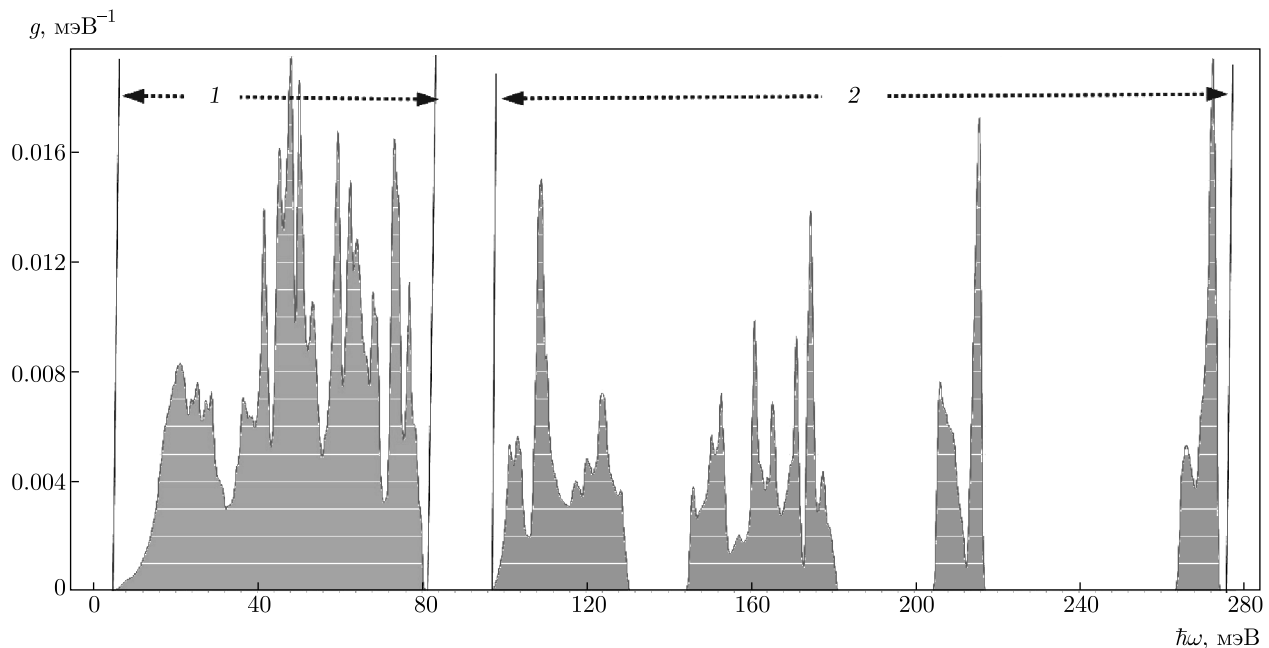


Рис. 11. (В цвете онлайн) Парциальные плотности числа фононных колебаний $g(\hbar\omega) = \text{PDOS}$ для соединения YS_4H_4 при характерных для структуры давлениях $P = 200$ ГПа. Диапазон частот колебаний атомов водорода для YS_4H_4 обозначается цифрой 2, энергетические диапазоны мод колебаний тяжелых атомов Y и S — цифрой 1

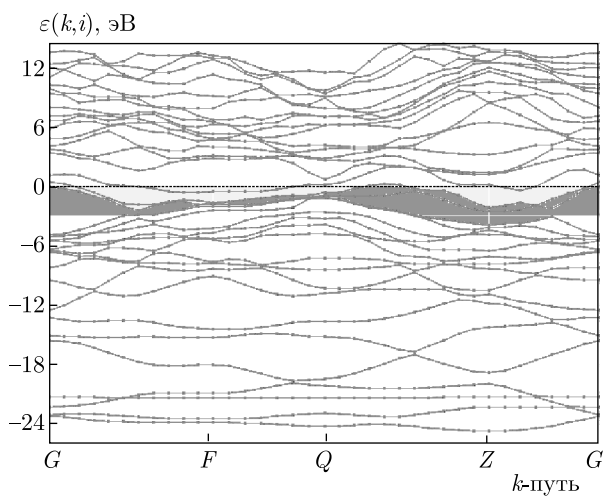


Рис. 12. (В цвете онлайн) Зонная структура соединения YS_4H_4 при давлении $P = 200$ ГПа: вдоль k -пути $G-F-Q-Z-G$. Желтым цветом выделены области, где имеет место электронный тип носителей, зеленым — дырочный. При давлении $P = 100, 400$ ГПа качественный вид структуры зон сохраняется

ные энергии уединенных атомов соответствующего элемента.

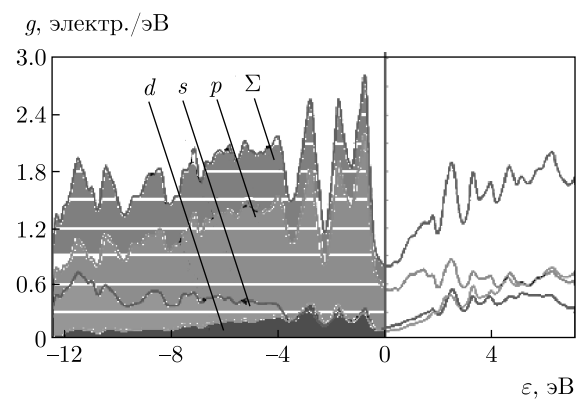


Рис. 13. (В цвете онлайн) Парциальные плотности числа электронных состояний $g(\varepsilon) = \text{PDOS}$ соединения YS_4H_4 при $P = 200$ ГПа

4. ВЫВОДЫ

Тройной гидрид YS_4H_4 является системой, устойчивой вплоть до давления около 50 ГПа, что указывает на положительную тенденцию в плане расширения интервала устойчивости тройных соединений. При этом структура первого предсказанного нами устойчивого тройного гидрида YS_4H_4 содержит относительно малое количество

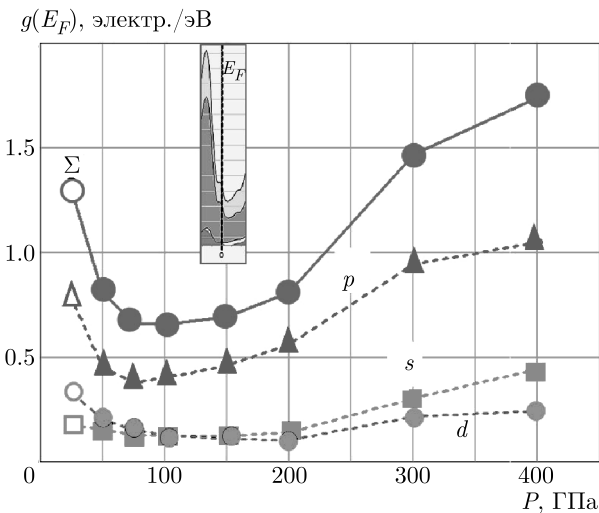


Рис. 14. (В цвете онлайн) Зависимость парциальной плотности числа электронных состояний $g(E_F) = \text{PDOS}$ на уровне Ферми для s -, p -, d -состояний и суммарного значения Σ плотности электронных состояний от давления P для соединения YS_4H_4 . На вставке — вид $g(\epsilon)$ вблизи E_F

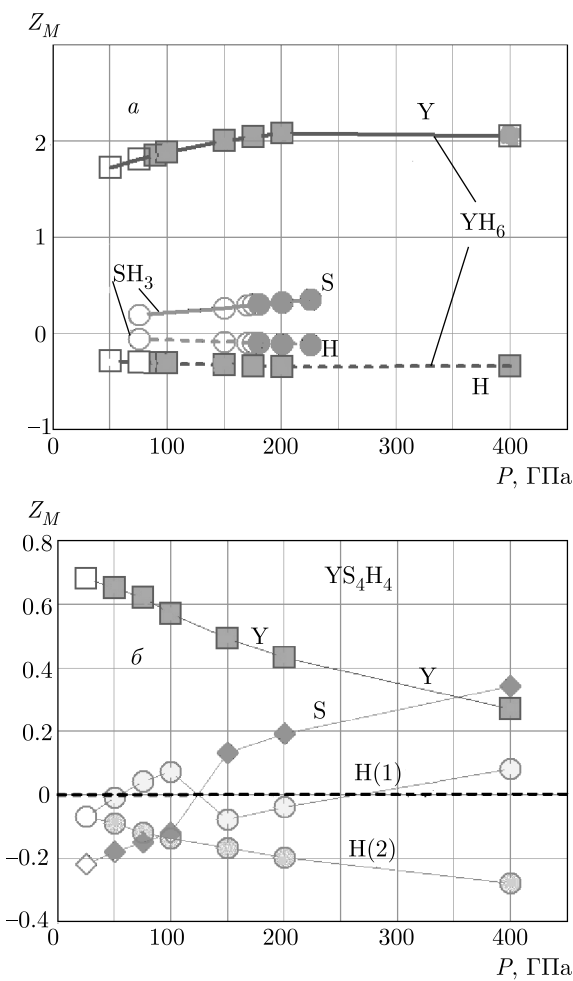


Рис. 15. (В цвете онлайн) Зависимости милликеновских зарядов Z_M атомов для систем YH_6 , SH_3 (*а*) и YS_4H_4 (*б*) от давления P

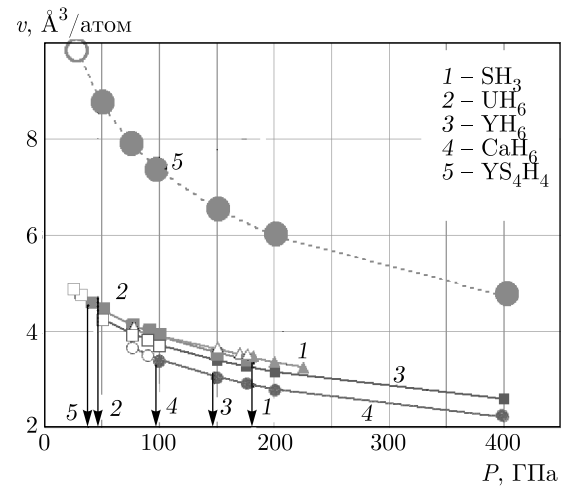


Рис. 16. (В цвете онлайн) Зависимости от давления удельного объема, приходящегося в среднем на один атом элементарной ячейки, для двойных гидридов и для YS_4H_4 . Стрелками показаны минимальные давления, при которых системы устойчивы. При давлениях, представленных на графиках, указанные темными символами данные системы не содержат мнимых частот в спектре фононных колебаний

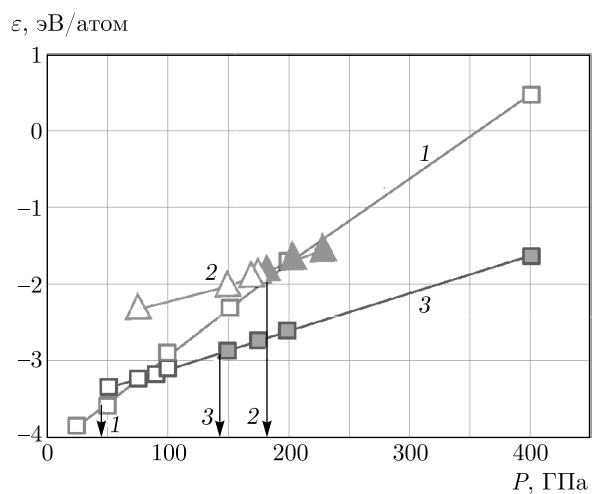


Рис. 17. (В цвете онлайн) Зависимости приведенной удельной энергии на атом для систем YH_6 (3), SH_3 (2), YS_4H_4 (1). Стрелками показаны минимальные давления, при которых системы устойчивы. При давлениях, представленных на графиках, указанные темными символами данные системы не содержат мнимых частот в спектре фононных колебаний

атомов водорода в элементарной ячейке. Поэтому для YS_4H_4 при $P = 200$ ГПа оценка критической температуры сверхпроводящего перехода приводит к небольшому значению $T_c \approx 20$ К.

Полученные результаты указывают на сложный характер взаимосвязей структуры, электронных и фононных спектров, типов внутренних связей и зарядового состояния атомов исследованных соединений, особенно с учетом изменений указанных свойств с изменением давления. В соединениях, представляющих собой тройные гидриды, возможна устойчивость при пониженных давлениях за счет «химического» давления материнских атомов матрицы. Представленные особенности фононного и электронных спектров свидетельствуют о сильном влиянии характера связи $\text{H}-\text{Me}$ и величины содержания водорода на значение критической температуры сверхпроводящего перехода.

Из приведенного сравнительного анализа могут быть получены качественные ориентиры для разработки сверхпроводников с высокими значениями T_c , превышающими 200 К. Соединения CaH_6 , YH_6 , UH_6U и H_3S , представляющие собой новые гидриды с высоким содержанием водорода, являются полигидридами с нестандартными стехиометриями, которые недоступны при атмосферном давлении, и представляют чрезвычайно ценный предмет исследования. Полигидриды могут быть синтезированы при меньших давлениях путем использования «химического» давления материнских атомов матрицы. Представленные особенности фононного и электронных спектров UH_6 свидетельствуют о сильном влиянии характера связи $\text{H}-\text{Me}$ на значение критической температуры сверхпроводящего перехода.

Работа поддержана Министерством образования и науки РФ в рамках Программы повышения конкурентоспособности НИЯУ МИФИ (2018). Работа выполнена с использованием оборудования центра коллективного пользования «Комплекс моделирования и обработки данных исследовательских установок мега-класса» НИЦ «Курчатовский институт» (субсидия Министерства образования и науки, идентификатор работ RFMEFI62117X0016), <http://ckp.nrcki.ru/>.

ЛИТЕРАТУРА

1. D. Duan, Y. Liu, Y. Ma et al., *National Sci. Rev.* **4**, 121 (2017).
2. H. Wang, S. T. John, K. Tanaka et al., *Proc. National Acad. Sci. USA* **109**, 6463 (2012).
3. P. G. Hou, X. S. Zhao, F. B. Tian et al., *RSC. Adv.* **5**, 5096 (2015).
4. X. L. Jin, X. Meng, Z. He et al., *Proc. Natl. Acad. Sci USA* **107**, 9969 (2010).
5. J. Feng, W. Grochala, T. Jaron et al., *Phys. Rev. Lett.* **96**, 017006 (2006).
6. Y. Cheng, C. Zhang, T. T. Wang et al., *Sci. Rep.* **5**, 16475 (2015).
7. Y. B. Ma, D. F. Duan, D. Li et al., *arXiv:1506.03889*.
8. D. F. Duan, Y. X. Liu, F. B. Tian et al., *Sci. Rep.* **4**, 6968 (2014).
9. S. T. Zhang, Y. C. Wang, J. R. Zhang et al., *Sci. Rep.* **5**, 15433 (2015).
10. Y. Li, J. Hao, H. Liu et al., *Sci. Rep.* **5**, 09948 (2015).
11. A. P. Drozdov, M. I. Eremets, and I. A. Troyan, *arXiv:1412.0460*.
12. A. P. Drozdov, M. I. Eremets, I. A. Troyan et al., *Nature* **525**, 73 (2015).
13. M. Einaga, M. Sakata, T. Ishikawa et al., *Nature Phys.* **12**, 835 (2016).
14. A. P. Drozdov, M. I. Eremets, and I. A. Troyan, *arXiv:1508.06224*.
15. A. R. Oganov and C. W. Glass, *J. Chem. Phys.* **124**, 244704 (2006).
16. Ф. Х. Спелдинг, А. Х. Даан, *Редкоземельные металлы*, Металлургия, Москва (1965).
17. Г. М. Элиашберг, *ЖЭТФ* **39**, 1437 (1960).
18. P. Giannozzi et al., *J. Phys.: Condens. Matter* **21**, 395502 (2009); **29**, 465901 (2017).
19. В. Н. Гребенев, Е. А. Мазур, *ФНТ* **13**, 479 (1987).
20. Н. Н. Дегтяренко, Е. А. Мазур, *ЖЭТФ* **148**, 289 (2015).